

# ВЕЙВЛЕТ-РЕГУЛЯРИЗАЦИЯ ОПЕРАЦИИ ДИФФЕРЕНЦИРОВАНИЯ СИГНАЛОВ С ШУМОМ

И. А. Патрикеев, Р. А. Степанов, П. Г. Фрик  
 Институт Механики Сплошных Сред, ул. Королева 1, 614013, г. Пермь

13 августа 2018 г.

## Аннотация

Рассматриваются различные алгоритмы приближенного вычисления производной функции, заданной неточно. Алгоритм дифференцирования с использованием вейвлет-преобразования сравнивается с алгоритмом на основе преобразования Фурье и алгоритмами вычисления производной в физическом пространстве. Проведена численная оценка погрешности вычислений различных алгоритмов на модельных примерах.

УДК 621.372

**Ключевые слова:** вейвлет, дифференцирование, фильтрация шума, регуляризация

## 1 Введение

Задача о численном дифференцировании функции, известной приближенно, является классическим примером некорректно поставленной задачи, приводящей к неустойчивости решения [1]. Для обеспечения устойчивости по Тихонову точное решение заменяют приближенным, которое управляется параметром регуляризации  $\alpha$  и стремится к точному при отсутствии погрешности измерений (подробнее о различных вариантах стабилизации решения см. в [1, 2, 3]). На практике регуляризация обычно сводится либо к сглаживанию исходных данных в физическом пространстве, либо к подавлению высоких частот в спектре измеренных данных. При этом оптимальная ширина сглаживающего окна или соответствующая ему полоса пропускания фильтра связывается с ожидаемым уровнем шума.

Представляется целесообразным сформулировать задачу регуляризации операции дифференцирования зашумленных данных на языке вейвлет-представления сигналов, которое позволяет естественным образом совместить преимущества работы в физическом пространстве и пространстве Фурье. Вейвлет-анализ, превратившийся за последнее десятилетие в хорошо развитый раздел функционального анализа (см., например [4]), показал свою эффективность в задачах, связанных с обработкой всевозможных многомасштабных сигналов и полей.

Первые попытки использования аппарата вейвлет-анализа при нахождении производной зашумленных данных были выполнены в работах [5, 6, 7, 8]. В данной работе методика вейвлет-дифференцирования описывается в рамках общей проблемы без привязки к специфике сигнала. При этом проводится систематическое сравнение вейвлет-регуляризации в задаче дифференцирования зашумленных сигналов с другими общезвестными подходами. Эффективность использования демонстрируется на конкретных примерах.

## 2 Методы численного дифференцирования

Пусть функция  $f(x)$  имеет первую производную  $g(x)$ , так что

$$f(x) = \int_0^x g(x)dx \tag{1}$$

и определена на наборе точек  $x_n$  с точностью до некоторой случайной ошибки  $\xi$

$$\tilde{f}_n = f(x_n) + \xi. \quad (2)$$

Производная  $g(x)$  выражается через  $f(x)$

$$g(x) = \frac{\partial f(x)}{\partial x} \quad (3)$$

и в простейшем случае может быть приближенно вычислена как

$$\tilde{g}_n = \frac{\tilde{f}_n - \tilde{f}_{n-1}}{\Delta x}, \quad (4)$$

где  $\Delta x = x_n - x_{n-1}$ .

В условиях шума формула (4) может стать неустойчивой. Принимая для случайной ошибки оценку  $|\xi| \leq A$ , можно записать

$$|g_n| \leq \left| \frac{f(x_n) - f(x_{n-1})}{\Delta x} \right| + 2A/\Delta x. \quad (5)$$

При  $\Delta x \rightarrow 0$  первое слагаемое в правой части (5) стремится к  $g(x)$ , а второе может быть сколь угодно большим. Так, в частности, если функция задана на конечном интервале, то увеличение числа точек приводит к увеличению второго слагаемого в (5).

## 2.1 Дифференцирование в физическом пространстве

В теории обобщенных функций [9] вводится  $\delta$ -функция, задаваемая неявно как

$$\int_{-\infty}^{\infty} f(x)\delta(x)dx = \int_{0-}^{0+} f(x)\delta(x)dx = f(0), \quad (6)$$

где  $f(x)$  - гладкая функция.

Известно, что  $\delta$ -функция дифференцируема. Ее первая производная, обозначаемая  $\dot{\delta}$  и называемая "дублет", обладает свойством

$$g(x) = \int_{-\infty}^{\infty} f(x')\dot{\delta}(x-x')dx' = \int_{0-}^{0+} f(x-x')\dot{\delta}(x')dx'. \quad (7)$$

Отметим, что функция  $\dot{\delta}$  нечетна и сосредоточена в бесконечно малой окрестности точки  $x = x'$ . Функцию  $\dot{\delta}$  называют иногда *бесконечно малым диполем*.

## 2.2 Дифференцирование в пространстве Фурье

По теореме о производной [10] дифференцирование в физическом пространстве сводится к умножению в частотном пространстве. Фурье-образы функций  $g$  и  $f$  связаны соотношением

$$\hat{g}(k) = ik\hat{f}(k), \quad (8)$$

где  $\hat{f}(k)$  - результат преобразования Фурье

$$\hat{f}(k) = \int_{-\infty}^{\infty} f(x)e^{-ikx}dx. \quad (9)$$

Таким образом, находя Фурье-образ сигнала  $\hat{f}(k)$ , умножая его в частотном пространстве на  $ik$  и выполняя обратное преобразование Фурье, можно найти производную  $g(x)$ :

$$g(x) = \frac{1}{2\pi} \int_{-\infty}^{\infty} ik \left( \int_{-\infty}^{\infty} f(x)e^{-ikx}dx \right) e^{ikx}dk. \quad (10)$$

Отметим, что фильтр  $ik$  имеет импульсную характеристику  $\dot{\delta}$ . То есть

$$ik = \int_{-\infty}^{\infty} \dot{\delta}(x) e^{-ikx} dx. \quad (11)$$

Принципиальное отличие алгоритма (10) от прямого дифференцирования в физическом пространстве заключается в том, что при вычислении преобразования Фурье используется информация о сигнале во всех точках числовой оси, в то время как дифференцирование является по определению операцией локальной.

### 2.3 Дифференцирование с использованием вейвлет-преобразования

С точки зрения локальности, метод дифференцирования на основе вейвлет-анализа занимает промежуточное положение между дифференцированием в физическом пространстве и в пространстве Фурье. Вейвлет-образ исходной функции  $f(x)$  есть

$$W_{a,b}\{f\} = \int \psi^* \left( \frac{x-b}{a} \right) f(x) dx, \quad (12)$$

где в качестве анализирующего вейвлета  $\psi(x)$  используется комплексная или действительная функция, локализованная как в физическом пространстве, так и в пространстве Фурье, а параметры  $a$  и  $b$  определяют, соответственно, масштаб и положении функции  $\psi_{a,b} = \psi \left( \frac{x-b}{a} \right)$ .

Записывая аналогичным образом вейвлет-образ функции  $g(x)$  и проводя дифференцирование по частям, легко получить

$$W_{a,b}\{g\} = \int_{-\infty}^{\infty} \psi_{a,b}^*(x) g(x) dx = - \int_{-\infty}^{\infty} \frac{\partial \psi_{a,b}^*(x)}{\partial x} f(x) dx \quad (13)$$

Таким образом, выполнив вейвлет-разложение функции  $f(x)$  по семейству  $-\frac{\partial \psi_{a,b}(x)}{\partial x}$ , и выполнив затем обратное вейвлет-преобразование с помощью вейвлет-семейства  $\psi_{a,b}(x)$ , можно получить исковую функцию  $g(x)$ :

$$g(x) = \frac{1}{C} \int_{0+}^{\infty} \frac{da}{a^3} \int_{-\infty}^{\infty} db \psi_{a,x}(b) \left( \int_{-\infty}^{\infty} dx \chi_{a,b}^*(x) f(x) \right), \quad (14)$$

где  $\chi$  - анализирующий вейвлет,  $\psi$  - синтезирующий вейвлет, и  $C$  - константа, определяемая выражением

$$C = \frac{1}{2\pi} \int_{-\infty}^{\infty} \frac{|\hat{\psi}(k)| |\hat{\chi}(k)|}{|k|} dk = \frac{1}{2\pi} \int_{-\infty}^{\infty} |\hat{\psi}(k)|^2 dk < \infty. \quad (15)$$

Выбор пары  $\chi$  и  $\psi$  (для анализа и синтеза соответственно) из условия

$$\chi(x) = -\frac{\partial \psi(x)}{\partial x}, \quad (16)$$

предполагает, что производная от  $\psi$  существует и является вейвлетом.

Например, пара функций  $\chi = (1-x^2) \exp(-x^2/2)$  и  $\psi = -x \exp(-x^2/2)$  удовлетворяет условию (16). В принципе, любой вейвлет, имеющий первую производную, можно использовать в качестве  $\psi$ . На практике, выбор конкретной пары вейвлетов осуществляется с учетом специфики постановки задачи.

В качестве предельного случая можно использовать пару функций  $\chi = \dot{\delta}$  и  $\psi = \delta$ . Подставляя в уравнение (14) и рассматривая  $\delta$ -функцию, как сингулярный вейвлет [4], получаем

$$g(x) = \int_{-\infty}^{\infty} dx' g(x') \delta(x - x') = \int_{-\infty}^{\infty} dx' f(x') \dot{\delta}(x - x'). \quad (17)$$

### 3 Регуляризация алгоритмов дифференцирования

Рассмотренные выше алгоритмы не являются устойчивыми и для использования на практике требуют регуляризации.

#### 3.1 Приближенное вычисление производной в физическом пространстве

Для практического использования необходимо провести регуляризацию уравнения свертки (7). Свертка с аппроксимирующей дублет функцией, шириной которой управляет параметром регуляризации  $\alpha$ , дает приближенное значение производной. Обобщенная функция  $\delta$  аппроксимируется регулярной нечетной функцией с нулевым средним значением, область локализации которой определяется ожидаемым уровнем шума. Простейшей аппроксимацией дублета на дискретном множестве является вычисление разности в соседних точках. Устойчивость можно обеспечить, увеличив расстояние между точками, в которых вычисляется разность. Такой метод известен со времен Ньютона [1].

Одним из практических методов оценки производной в физическом пространстве является свертка измеренного сигнала со сглаживающим окном (Хэмминга, Винера и др. [2, 11]), с последующим вычислением производной в виде конечной разности (4). Сглаженный сигнал находится по формуле

$$\int_{-\infty}^{\infty} f(x') u_{\alpha}(x - x') dx', \quad (18)$$

где  $u$  - сглаживающее окно, ширина которого управляет регуляризирующим параметром  $\alpha$ .

Применяемое на практике усреднение по соседним точкам эквивалентно сглаживанию прямоугольным окном. Численная оценка погрешности вычисления производной в физическом пространстве (при использовании различных сглаживающих окон) будет дана ниже.

#### 3.2 Приближенное вычисление производной в пространстве Фурье

Как альтернативу свертке со сглаживающим окном в физическом пространстве рассмотрим умножение на фильтр низких частот (ФНЧ) в частотной области. Идеальный ФНЧ отсекает все частоты, выше  $k_0(\alpha)$ . Сигнал, пропущенный через идеальный ФНЧ, не будет иметь высоких частот, то есть будет сглаженным. После выполнения обратного преобразования Фурье дифференцирование производится методом конечной разности.

Можно объединить в частотной области обе операции - обеспечения устойчивости путем подавления высоких частот и вычисления производной путем умножения на  $ik$ . Алгоритм (10) в условиях шума является неустойчивым, так как умножение на  $ik$  приводит к неограниченному усилению высоких частот. Для обеспечения устойчивости используется ФНЧ с шириной полосы пропускания, управляемой регуляризирующим параметром (при  $\alpha \rightarrow 0$ , полоса пропускания стремится к бесконечности и приближенное решение стремится к точному). Форма фильтра может выбираться достаточно произвольно, исходя из специфики задачи. Ниже будут рассмотрены два фильтра: дифференцирующий фильтр, представляющий собой произведение  $ik$  и идеального ФНЧ, и дифференцирующий гауссов фильтр - произведение  $ik$  и гауссова фильтра.

#### 3.3 Вейвлет-регуляризация

При использовании вейвлет-алгоритма вместо свертки сигнала с дублетом выполняется анализ с использованием вейвлета  $\chi$  и последующий синтез с использованием вейвлета  $\psi$ .

Интегрирование по  $a$  на этапе синтеза на практике осуществляется в конечных пределах от  $a_{min}$  до  $a_{max}$ . В случае высокочастотного шума выбор  $a_{min}$  необходимо связать с ожидаемым уровнем шума. В простейшем случае пределы интегрирования по  $a$  выбираются на основании интегральных критериев и не учитывают поведение функции и особенности шума в различные моменты времени. Преимущество вычисления с помощью вейвлетов состоит в том, что легко реализовать локальную регуляризацию, когда пределы интегрирования адаптируются под локальные свойства вейвлет-спектра, т.е.  $a_{min}$  зависит от  $x$ .

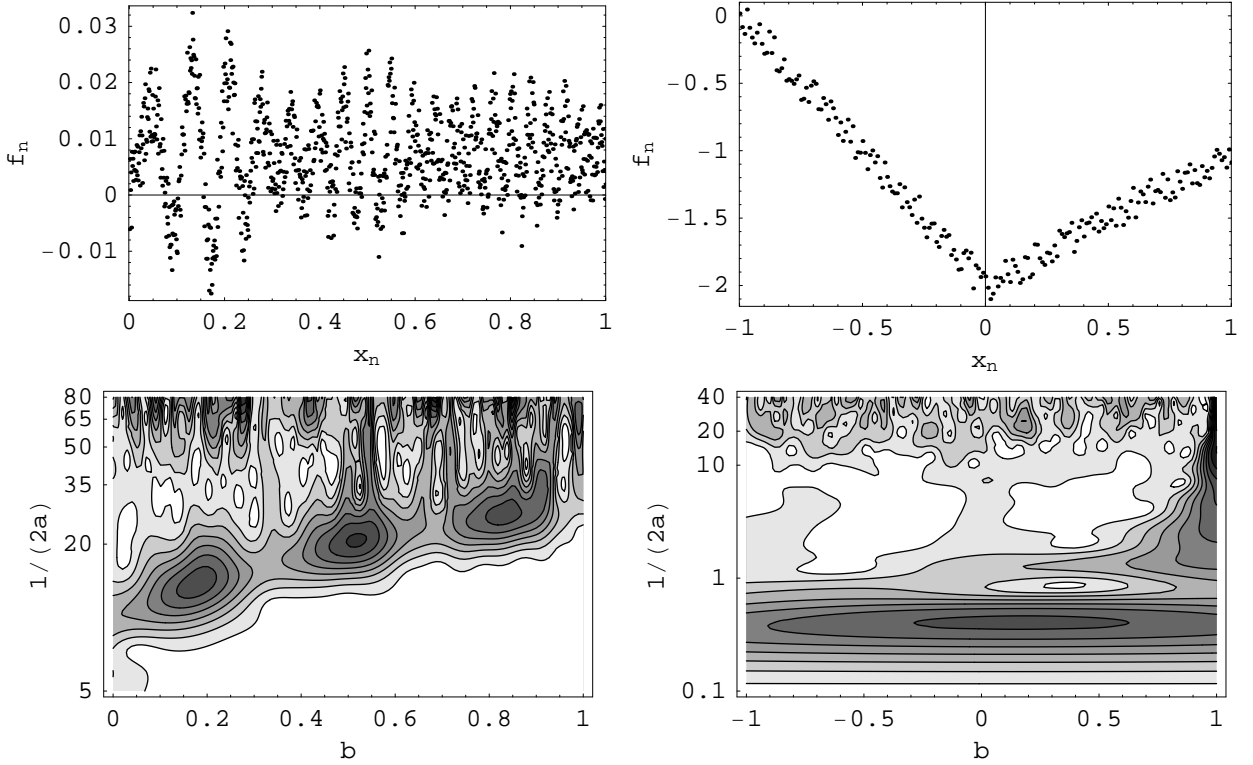


Рис. 1: Модельные сигналы с аддитивным белым шумом (*вверху*) и соответствующие вейвлет-образы (*внизу*).

## 4 Примеры

Выбор оптимального способа дифференцирования зависит, безусловно, от вида сигнала и характеристик шума. Мы ограничимся рассмотрением двух характерных примеров. Первый пример представляет сигнал, основная энергия которого сосредоточена в высокочастотной части спектра (периоды характерных колебаний существенно меньше длины интервала, на котором задан сигнал). В этом случае можно считать, что сигнал задан на неограниченном отрезке или является периодическим, что позволяет избежать проблем, связанных с границами области определения. В качестве второго примера выбрана кусочно-гладкая функция.

Первый пример представляет собой заданный на интервале от 0 до 1 с шагом 0.001 осциллирующий сигнал, модулированный по частоте и амплитуде, искомая производная которого определяется по формуле

$$g(x) = \sin(2\pi x(10x + 10))(1 - 1/2 \cos(6\pi x)). \quad (19)$$

Производная второго модельного сигнала определяется выражением

$$g(x) = \begin{cases} -2, & x \leq 0 \\ 1, & x > 0 \end{cases}. \quad (20)$$

Второй сигнал более гладкий и не имеет высокочастотной составляющей за исключением области разрыва производной. Этот сигнал задан только в интервале от -1 до 1 и ограниченность области определения оказывает прямое влияние на дифференцирование.

Для каждого из модельных сигналов были сформированы наборы точек  $f_n$  по формуле

$$f_n = \int_{x_0}^{x_n} g(x)dx + \xi(\mu), \quad (21)$$

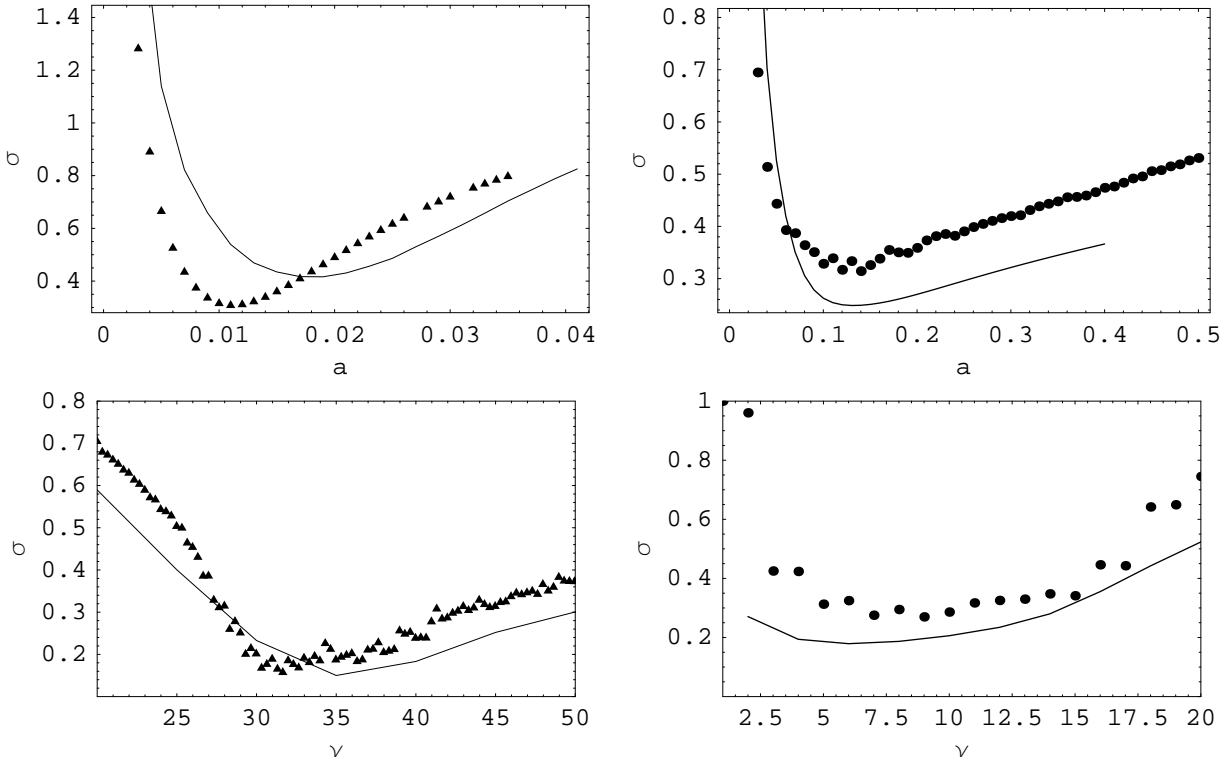


Рис. 2: Зависимость среднеквадратичной ошибки дифференцирования (пример 1 - слева, пример 2 - справа) от ширины окна в физическом пространстве: прямоугольное окно - линия, гауссово окно - точки (вверху); в частотном пространстве: прямоугольный ФНЧ - точки, вейвлет-дифференцирование - линия (внизу).

где  $\xi(\mu)$  - белый шум с уровнем  $\mu * 100\%$  от среднего абсолютного значения функции.

Полученные распределения представлены на Рис. 1. Уровень шума составлял 30% для первого сигнала (Рис. 1, слева) и 10% для кусочно-гладкого примера (Рис. 1, справа). В высокочастотной части соответствующих вейвлет-образов (Рис. 1, внизу) наблюдаются нерегулярные структуры, вызванные добавлением шума.

Массивы значений  $f_n$  использовались для численного вычисления производной  $g_n$  различными алгоритмами и сравнения с аналитическими значениями производной  $g(x_n)$ . Среднеквадратичная ошибка (СКО) дифференцирования определялась по формуле [2]

$$\sigma = \sqrt{\frac{\sum_n (g_n - g(x_n))^2}{\sum_n g(x_n)^2}}, \quad (22)$$

где  $g(x_n)$  - значения производной модельного сигнала в точках  $x_n$ ,  $g_n$  - результат численного дифференцирования.

В данной работе сравнивались следующие алгоритмы:

*Прямоугольное окно в физическом пространстве + конечная разность.* Сигнал усреднялся по соседним точкам и затем применялся метод конечной разности для оценки производной. Оптимальное значение ширины окна, минимизирующее  $\sigma$ , определялось путем варьирования количества точек, по которым проводится усреднение, и последующим сравнением с аналитическим решением. Оптимальное значение ширины окна имеет значение 0.018 для первого сигнала и 0.14 - для второго сигнала. Минимальные значения  $\sigma$  приведены в Таблице 1. Графическая зависимость  $\sigma$  от ширины окна показана на Рис. 2.

*Гауссово окно в физическом пространстве + конечная разность.* Аналогичным образом определилось оптимальное значение ширины гауссова окна (на уровне половины от максимального значения). Оптимальное значение ширины окна равно 0.011 для первого сигнала и 0.31 - для второго сигнала. Минимальные

Метод	Минимальное значение $\sigma$	
	Пример 1	Пример 2
Прямоугольное окно	0.42	0.31
Гауссово окно	0.31	0.25
Фурье (ФНЧ) + кон.разн.	0.16	0.8
Фурье гаусс + кон.разн.	0.16	0.7
Дифференцирующий фильтр	0.18	0.27
Диф.гаусс фильтр	0.3	0.32
Вейвлет-регуляризация (Морле)	0.15	0.2
Вейвлет $a_{min} = (20 * x + c)^{-1}$	0.12	-

Таблица 1: Сравнение эффективности фильтрации шума при вычислении производной.

значения  $\sigma$  - в Таблице 1. Сравнивая графики зависимости  $\sigma$  от ширины окна (Рис. 2), можно видеть, что гауссово окно дает более точное восстановление производной, чем прямоугольное.

*ФНЧ в частотном пространстве + конечная разность.* Оптимальное значение частоты отсечки  $k_0$ , минимизирующее  $\sigma$ , определялось следующим образом: вычислялось FFT сигнала, отбрасывались коэффициенты ряда Фурье, соответствующие частотам  $k > k_0$ , а затем выполнялось обратное FFT и применялся метод конечной разности. Зависимость  $\sigma$  от  $k_0$  представлена на Рис.2. Графически зависимость  $\sigma$  от  $k_0$  показана на Рис. 2. Минимальное значение  $\sigma$ , достижаемое при использовании идеального фильтра низких частот, - в Таблице 1.

*Гауссов фильтр в частотном пространстве + конечная разность.* Фильтр получается заменой прямоугольного ФНЧ на гауссов. Зависимость  $\sigma$  от ширины фильтра в частотном пространстве находилась следующим образом: вычислялось FFT сигнала, умножались коэффициенты ряда Фурье на гауссов фильтр, а затем выполнялось обратное FFT и применялся метод конечной разности. Оптимальное значение ширины фильтра равно 32 для первого примера и 1 - для второго примера. Минимальные значения  $\sigma$  - в Таблице 1.

*Дифференцирующий фильтр в частотном пространстве.* Умножение идеального ФНЧ на  $ik$  дает фильтр специальной формы, осуществляющий в частотной области вычисление производной одновременно со сглаживанием. Такой фильтр, а также его ближайшие родственники, используются в томографии для вычисления обратного преобразования Радона [2, 12]. Оптимальное значение частоты отсечки  $k_0$  равно 32 для первого примера и 8 - для второго примера. Минимальные значения  $\sigma$  - в Таблице 1.

*Дифференцирующий гауссов фильтр в частотном пространстве.* Модифицируем предыдущий фильтр, заменив идеальный ФНЧ на гауссов фильтр. Умножив в частотном пространстве гауссов фильтр на  $ik$ , получим фильтр  $ik \exp(-k^2)$ , импульсная характеристика которого равна первой производной от гауссова окна. Варьируя ширину фильтра в частотной области, найдем значение параметра масштаба, минимизирующее  $\sigma$ . Оптимальное значение ширины фильтра равно 37 для первого примера и 10 - для второго примера. Минимальные значения  $\sigma$  представлены в Таблице 1.

*Вейвлет Морле в физическом пространстве.* Разложим сигнал по масштабам, используя производную от вейвлета Морле в качестве анализирующего вейвлета. Диапазон масштабов зададим от 0.1 до 0.006, за пределами которого сигнал практически отсутствует. Затем для каждого масштаба вычислим свертку полученных вейвлет-коэффициентов с вейвлетом Морле и проинтегрируем по масштабам от  $a_{max} = 0.1$  до  $a_{min}$ . Варьируя  $a_{min}$ , найдем соответствующие значения  $\sigma$ . Зависимость  $\sigma$  от  $a_{min}$  (переведенного в частотный аналог по формуле  $\nu = 1/(2a_{min})$ ) представлена на Рис. 2. Оптимальное значение  $\nu = 35$  для первого примера и 7 - для второго примера. Минимальное значение  $\sigma$  - в Таблице 1. Анализ вейвлет-образа квазигармонического сигнала (Рис.1, слева) показывает, что существенная часть информации сосредоточена в трех компактных областях, расположенных вдоль наклонной прямой. Это дает возможность задать минимальный масштаб в виде функции  $a_{min} = (10*x+c)^{-1}$ . Тогда перебор значений  $c$  дополнительно минимизирует  $\sigma$ . В этом случае для значения  $c = 42$  получается результат  $\sigma = 0.12$ , что заметно лучше, чем результат, полученный с использованием преобразования Фурье. Для кусочно-гладкого сигнала (Пример 2) дополнительная оптимизация не проводилась, так как его вейвлет-образ (Рис.1, справа) существенно искажен влиянием шума.

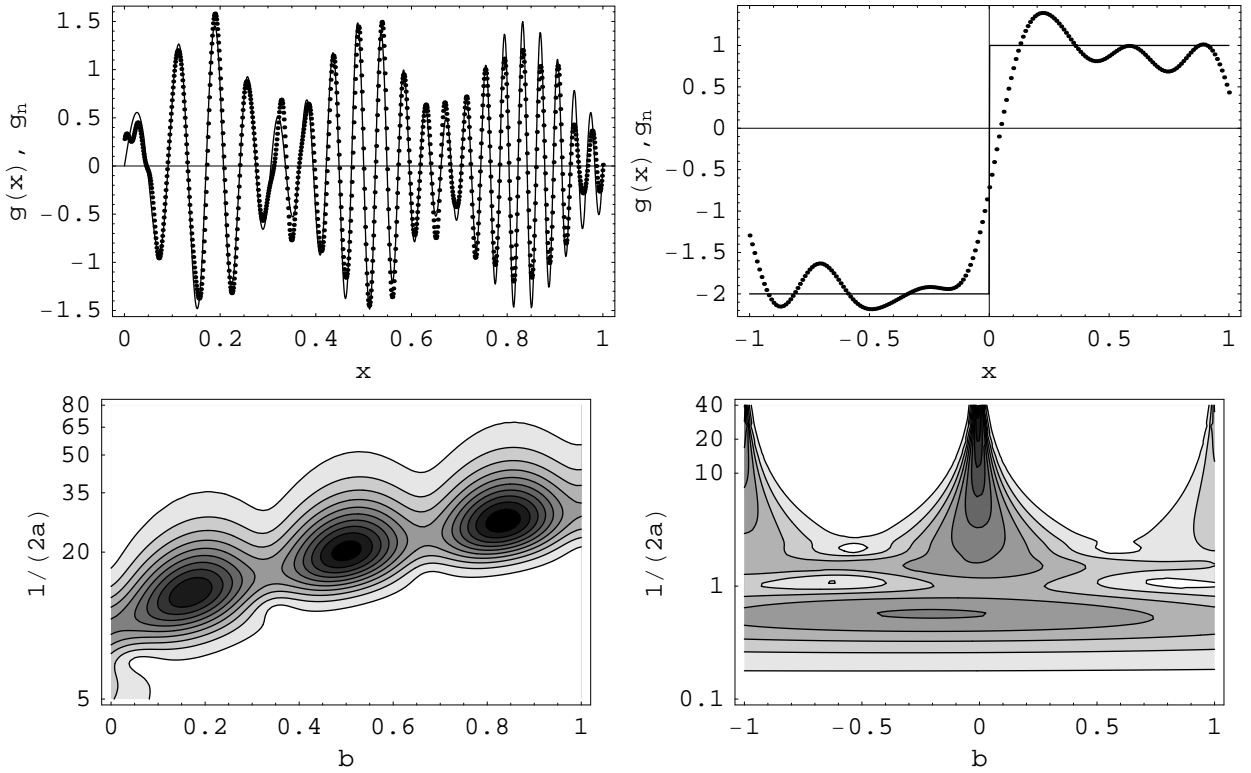


Рис. 3: Производные модельных сигналов, вычисленные аналитические - линии; численная оценка с использованием вейвлета Морле при оптимальном значении  $a_{min}$  - точки (вверху). Вейвлет-образы производных модельных сигналов (внизу).

На Рис.3 представлены графики аналитических производных модельных сигналов и результаты численного дифференцирования методом на основе вейвлета Морле при оптимальном значении  $a_{min}$  (без использования дополнительной оптимизации). Вейвлет-образы производных сигналов, приведенные на Рис. 3, внизу, показывают распределения спектральных свойств в заданных интервалах.

## 5 Обсуждение

Алгоритм с использованием вейвлет-преобразования позволяет проводить устойчивое дифференцирование в условиях шума. Локальность базисных функций позволяет более точно учитывать свойства сигнала по сравнению с методами фильтрации в частотном пространстве.

Особый интерес предложенные методы могут представлять при решении обратных задач (в медицине, астрономии, гидродинамике и т.д.). Например, интегральное уравнение Абеля, к которому сводится задача осесимметричной томографии, имеет решение [12]

$$g(r) = -\frac{1}{\pi} \int_r^\infty \frac{dp}{\sqrt{p^2 - r^2}} \frac{\partial f(p)}{\partial p}, \quad (23)$$

где  $f(p)$  - измеренные с некоторой погрешностью проекционные данные.

В общем случае решение двумерной задачи томографии сводится к обратному преобразованию Радона, которое также может быть выражено через первую производную измеренного сигнала [2]

$$g(x, y) = -\frac{1}{2\pi^2} \int_0^\pi d\phi \int_{-\infty}^\infty \frac{dp}{p - x \sin \phi + y \cos \phi} \frac{\partial f(p, \phi)}{\partial p}, \quad (24)$$

где  $f(p, \phi)$  - измеренные с некоторой погрешностью проекционные данные.

В работе [14] приведен ряд примеров, показывающих, что метод позволяет эффективно подавить шумы, возникающие в спектре из-за пробелов, и повысить точность восстановления спектра исходного сигнала. Этот алгоритм легко переносится и на рассматриваемую задачу о вычислении производной и состоит в этом случае в следующем. На первом шаге с помощью метода "дырявых" вейвлетов вычисляется вейвлет-образ  $W_{a,b}$  исходной функции  $\tilde{f}(x)$ , а на втором шаге - по формуле (14) восстанавливается искомая производная  $g(x) = f'(x)$ . При этом на втором шаге используются *полные* вейвлет-функции  $\chi(x)$ .

**Благодарности.** Работа выполнена при финансовой поддержке гранта РФФИ-НИИО № 03-02-04031, РФФИ № 03-02-16384 и Научно-образовательного центра (грант РЕ-009-0). РС также благодарен Уральскому отделению РАН (грант молодым ученым).

## Список литературы

- [1] Тихонов А., Арсенин В. Методы решения некорректных задач. М.:Наука, 1986.
- [2] Пикалов В.В., Мельникова Т.С. Томография плазмы. Новосибирск: Наука. Сибирская издательская фирма РАН, 1995.
- [3] Троицкий И.Н. Статистическая теория томографии. М.:Радио и связь, 1989.
- [4] Holschneider M. Wavelets: Tool of analysis. Oxford: Oxford University Press, 1995.
- [5] Патрикеев И.А., Фрик П.Г. Вейвлет-томография в условиях шума // Математическое моделирование систем и процессов, Вып.5. Пермь: Из-во ПГТУ, 1997. 86-92.
- [6] Patrickeyev I., Frick P. Lymphocyte nucleus reconstruction via wavelet tomography // Journal of Biomedical Optics. 1999. N 7. 376-380.
- [7] Степанов Р.А. Двумерная вейвлет-томография галактических полей // Математическое моделирование систем и процессов. Вып.7. Пермь: Из-во ПГТУ, 1999. 86-91.
- [8] Stepanov R., Frick P., Shukurov A., Sokoloff D. Wavelet-tomography of the Galactic magnetic field. I.The method // Astronomy and astrophysics. 2002. 391. 361-368.
- [9] Гельфанд И.М., Шилов Г.Е. Обобщенные функции и действия над ними. М.:Наука, 1959.
- [10] Bracewell R. Fourier Transform and Its Application. McGraw-Hill, Inc., 1965.
- [11] Хемминг Р. Цифровые фильтры. М.: Советское радио, 1980.
- [12] Levin G.G.(Ed.) Analytical Methods for Optical Tomography, SPIE, 1992.
- [13] Frick P., Baliunas S., Galyagin D., Sokoloff D., Soon W. Wavelet analysis of stellar chromospheric activity variations // Astrophysical Journal. 1997. 483. 426-434.
- [14] Frick P., Grossmann A., Tchamichian Ph. Wavelet analysis of signals with gaps // Journal of Mathematical Physics. 1998. 39. N 8. 4091-4107.